

**PERÚ**Ministerio
de la Producción**IMARPE**
INSTITUTO DEL MAR DEL PERÚ

BOLETÍN SEMANAL OCEANOGRÁFICO Y BIOLÓGICO-PESQUERO

Año 6, N°28

Semana 28: 09 - 15/07/2021

DIAGNÓSTICO

Durante esta semana la temperatura superficial del mar (TSM) en el sector ecuatorial oriental entre los 125°W y 95°W presentó condiciones frías con una anomalía de hasta -2,2 °C. Entre los 90°W y 95°W, al oeste de islas Galápagos, las anomalías alcanzaron un valor de +2,5 °C. En la región Niño 1+2, las condiciones cálidas anómalas dominaron en cobertura, aunque frente a la costa norte del Perú, persistieron núcleos con anomalías negativas al norte de Talara (-1,9 °C) y a 60 mn de Punta Falsa (-1,8 °C) (Figura 1). En la franja de los 100 km adyacentes a la costa peruana, la TSM varió entre 24,5 °C (Tumbes) y 14,6 °C (Chala). La banda de aguas menores a 20 °C continuó ubicada desde Punta Sal hacia el sur, aumentando su cobertura hacia la zona oceánica, en especial frente a Punta Falsa, mientras que, las aguas mayores a 20 °C se acercaron a las costas de Chicama (< 20 mn). Al norte de Talara las aguas entre 21 y 25 °C se proyectaron hacia el norte, ubicándose al norte del ecuador geográfico. Las aguas menores a 17 °C ocurrieron en una franja de ~25 mn desde Chancay hacia el sur, con una mayor proyección hacia la zona oceánica entre San Juan de Marcona y Atico. En la zona oceánica frente a la costa norte continuó el repliegue hacia el oeste de las aguas de 21-23 °C (Figura 2 a). Al sur de Punta Falsa, continuaron predominando condiciones dentro del rango neutro ($\pm 0,5$ °C), con la presencia de un núcleo cálido entre Pimentel y Chimbote y con una anomalía de hasta +1,5 °C (frente a Chicama). En términos de salinidad, la información del modelo MERCATOR mostró que las aguas tropicales superficiales (ATS) se replegaron ligeramente hasta Tumbes, mientras que las aguas ecuatoriales superficiales (AES) se proyectaron ligeramente hasta las 60 mn de Punta Sal. Al sur de Punta Sal, se mantuvo la presencia de extensas áreas de mezcla entre las aguas costeras frías (ACF) y las aguas subtropicales superficiales (ASS), con una menor proyección de las ACF hacia la zona oceánica frente a Punta Falsa, manteniéndose en una franja delgada entre Punta Falsa y Huarmey y al sur de Atico. Entre Huarmey y Atico, se mantuvo el acercamiento de las ASS a la costa, en especial frente a San Juan de Marcona, mientras que al sur de Atico se observó una mayor proyección oceánica de las ACF (Figura 2 b). Respecto a la semana anterior, la TSM frente a la costa peruana en general presentó cambios poco significativos ($\pm 0,5$ °C), con excepción de la zona frente a Chicama donde la TSM se incrementó en hasta 1,5 °C y al norte de Talara donde se produjo una disminución significativa (2,1 °C), que se extendió hacia la zona ecuatorial. En la zona oceánica el mayor enfriamiento (1,8 °C) se mantuvo frente a Punta Falsa (Figura 3 b).

En la franja de ~111 km adyacente a la costa entre el ecuador geográfico y 22°S, la intensidad del viento, de dirección predominante del Sureste, registró velocidades moderadas (entre 4,1 a 6,8 m/s) desde Tumbes hasta San Juan de Marcona, generando anomalías negativas de la velocidad del viento (VV) para gran parte de la costa peruana, especialmente al sur de Huacho con valores de hasta -2 m/s en promedio (Figura 4 a). Las condiciones térmicas superficiales permanecieron en el rango neutral, con anomalías ligeramente frías (-1 °C) al norte de Talara (Figura 4 b). La evolución de las anomalías del nivel del mar (ANM) diarias con un filtro pasa banda de 10-120 días se muestran para dos sectores: la zona ecuatorial entre 2°N y 2°S (Figura 5 a) y para la franja de 111 km adyacente al litoral peruano (Figura 5 b). En el primer caso, continuaron predominando ANM negativas, con un incremento de su magnitud frente a la costa Sudamericana, donde las anomalías filtradas alcanzaron valores de -4 cm (Figura 5 a). En la franja costera peruana, se continuó registrando ANM negativas a lo largo de la costa, con valores que variaron entre -2 y -4,3 cm al norte de Huarmey (Figura 5 b).

El flotador ARGO (81,3°W y 7,7°S) a 103 mn frente a Chicama, el día 11 de julio, mostró una TSM de 20,3 °C y una ATSM de +1,5 °C. En la columna de agua se continuó observando la superficialización de las isoterms de 12 °C a 17 °C, con respecto a la semana anterior. Esto originó, en promedio, ligeras anomalías negativas (-0,5 °C) entre 70 y 300 m, aunque sobre los 60 m de profundidad se registraron anomalías de +2 °C, en promedio (Figura 6).

PERSPECTIVAS A CORTO PLAZO

Según el Modelo Atmosférico del Sistema de Pronóstico Global (GFS, por sus siglas en inglés) de NOAA/NCEP (https://pae-paha.pacioos.hawaii.edu/erddap/griddap/ncep_global.html), a lo largo de la costa hasta el 19 de julio predominarían vientos del sureste moderados a ligeramente fuertes (> 6,8 m/s), tanto en la zona costera como en la oceánica desde Tumbes hasta San Juan de Marcona, reduciéndose su intensidad entre los días 20 y 22 de julio. Estas condiciones producirían anomalías de viento en un rango neutral a positivo hasta el 17 de julio, variando a anomalías en el rango negativo a neutral entre los días 18 a 22 de julio.

El pronóstico de Mercator Océan, para el periodo del 15 al 24 de julio 2021, indica que al norte de 5°S se desarrollaran anomalías positivas de TSM, así como frente a Pisco y San Juan de Marcona, mientras que las anomalías de TSM en la región central fluctuarían entre valores positivos y negativos. (http://www.imarpe.gob.pe/imarpe/index2.php?id_seccion=I0178040300000000000000)

La última simulación del modelo de ondas Kelvin ecuatoriales implementado en el IMARPE, forzado con anomalías del esfuerzo del viento ecuatorial superficial obtenidos del NCEP al 12.07.2021, indica que la onda Kelvin fría (modo 2), pronosticada en el BS OBP N°21-2021, habría alcanzado al extremo del Pacífico ecuatorial oriental. Por otro lado, la **onda Kelvin fría (modo 1)** generada en el Pacífico ecuatorial central a inicios de julio, mencionada en el boletín anterior, ha sido reforzada por las anomalías de vientos del este en el Pacífico ecuatorial central y llegaría frente a las costas de Sudamérica entre **julio y agosto**. Además, la **onda Kelvin cálida (modo 2)**, mencionada en el BS OBP N°21-2021, continua con su propagación hacia el este y llegaría frente a la costa de Sudamérica en **setiembre** (Figura 8).

Servicio de Información Oceanográfica
del Fenómeno El Niño (SIO-FEN)
Instituto del Mar del Perú

I. CONDICIONES DE MACROESCALA

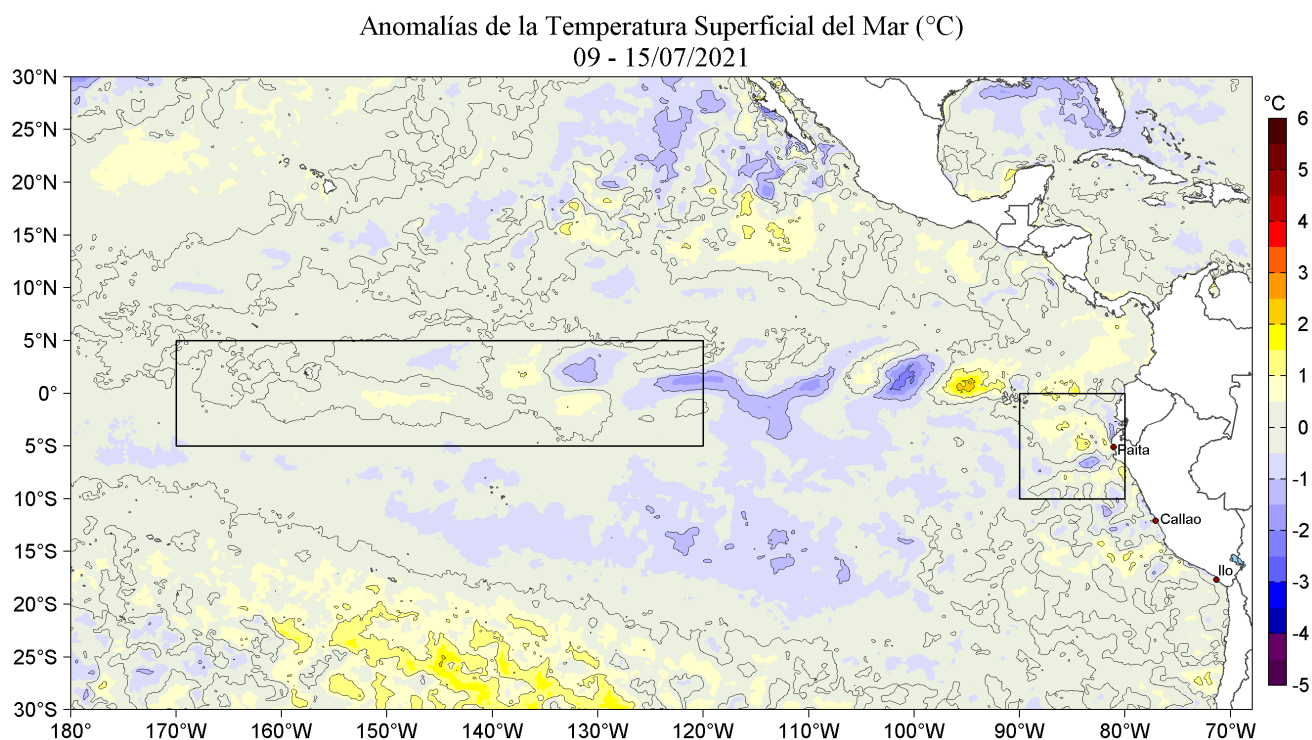


Figura 1. Anomalías promedio de la Temperatura superficial del mar (°C) en el océano Pacífico tropical para la semana del 09 al 15 de julio de 2021. Las regiones Niño 3.4 y Niño 1+2 en los sectores central y oriental del océano, respectivamente están delimitadas con una línea de color gris. Datos: OSTIA-UKMO-L4-GLOB-v2.0 (UK Met Office, 2012; Donlon et al, 2012) disponible en <https://podaac.jpl.nasa.gov/dataset/OSTIA-UKMO-L4-GLOB-v2.0>. Las anomalías se calcularon con respecto de la climatología para el período 2007-2016.

II. CONDICIONES REGIONALES

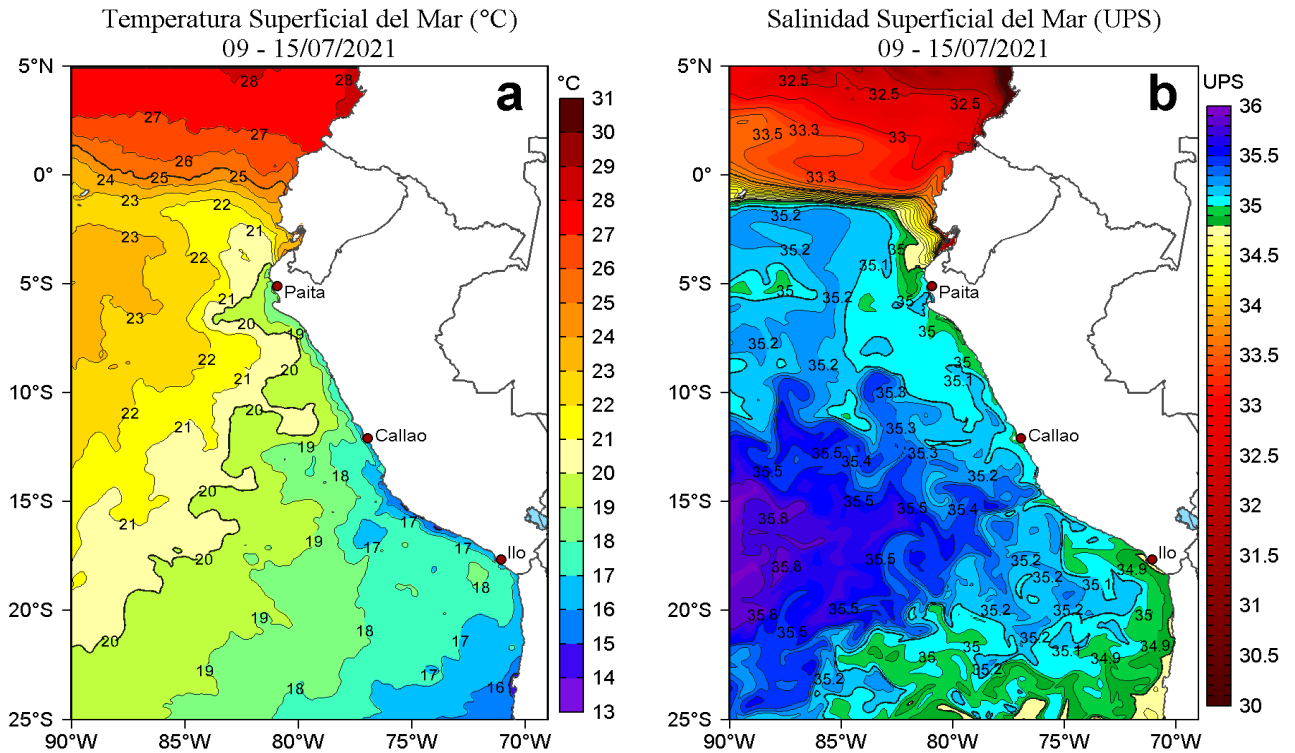


Figura 2. Distribución espacial promedio de: a) Temperatura (TSM, °C) y b) Salinidad superficial del mar (SSM) para la semana del 09 al 15 de julio de 2021, en el océano Pacífico oriental. Datos: OSTIA-UKMO-L4-GLOB-v2.0 (UK Met Office, 2012; Donlon et al, 2012) disponible en <https://podaac.jpl.nasa.gov/dataset/OSTIA-UKMO-L4-GLOB-v2.0> para (a) y del GLOBAL_ANALYSIS_FORECAST_PHY_001_024 (Lellouche, J. M. et al, 2013) disponible en http://marine.copernicus.eu/services-portfolio/access-to-products/?option=com_csw&view=details&product_id=GLOBAL_ANALYSIS_FORECAST_PHY_001_024 para (b). Las escalas de colores se presentan a la derecha de cada gráfico.

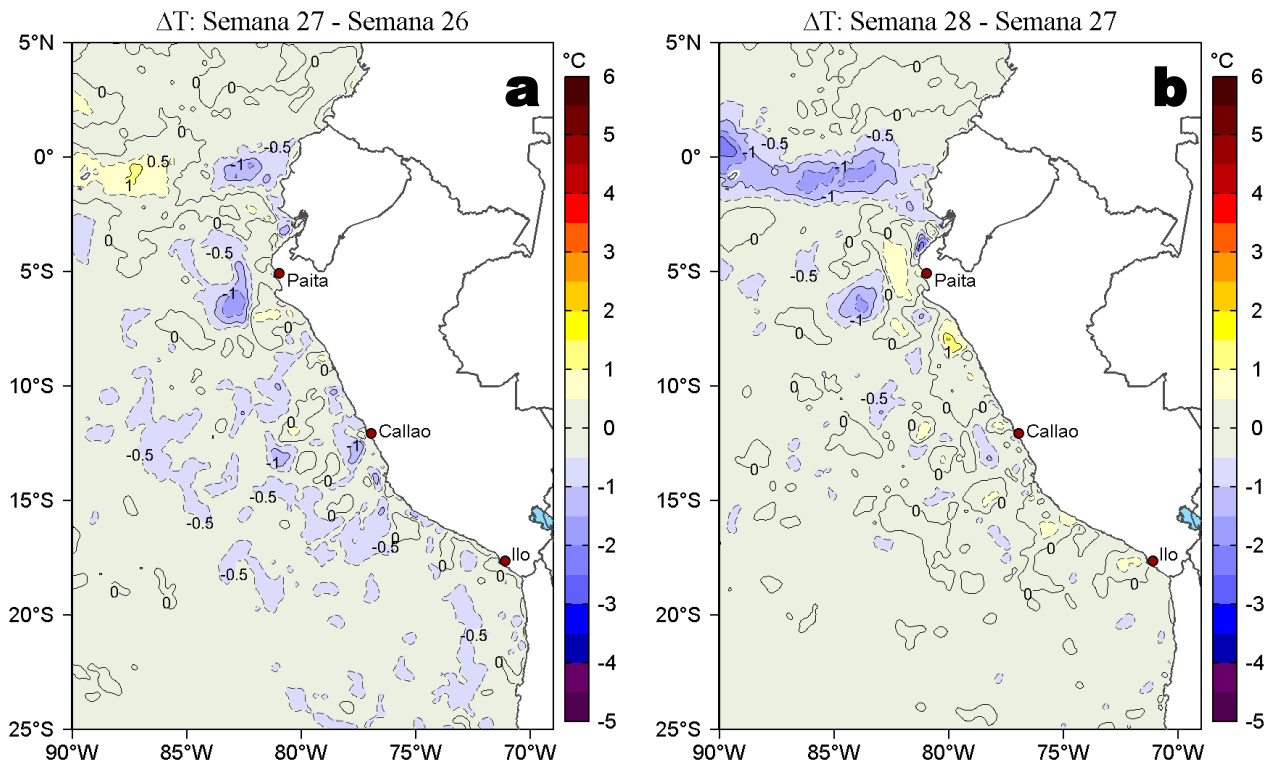


Figura 3. Variación semanal de la temperatura superficial del mar (°C) en el océano Pacífico tropical oriental entre: a) vigésima séptima (02-08 de julio) y vigésima sexta (25 de junio - 01 de julio) semana de 2021 y b) vigésima octava (09-15 de julio) y vigésima séptima (02-08 de julio) semana de 2021. Los mapas, que indican el grado de calentamiento o enfriamiento de una semana a otra, provienen de OSTIA-UKMO-L4-GLOB-v2.0 (UK Met Office, 2012; Donlon et al, 2012). La barra de colores a la derecha muestra la diferencia de la temperatura entre la presente y la semana previa.

III. CONDICIONES LOCALES

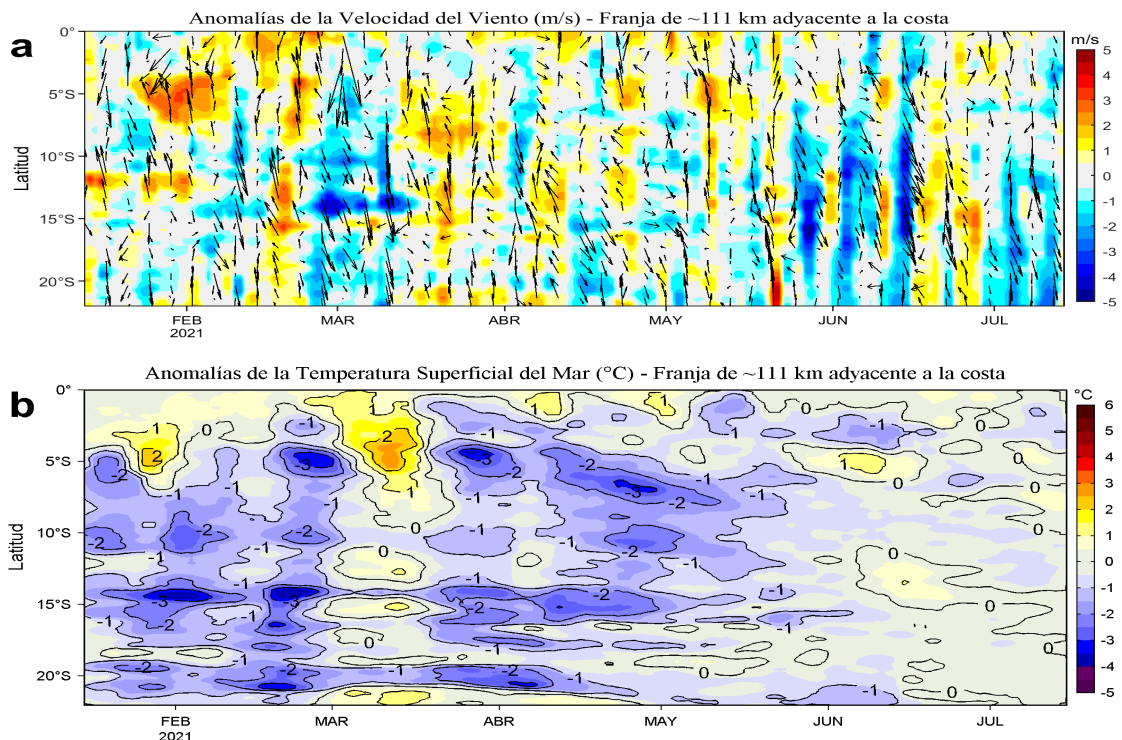


Figura 4. Evolución de las anomalías diarias de: a) Velocidad del viento (m/s) y b) Temperatura superficial del mar (°C) para el último semestre, actualizado al 14 y 15 de julio de 2021, respectivamente. Datos: de IFREMER/CERSAT para (a) y de OSTIA-UKMO-L4-GLOB-v2.0 para (b). Las anomalías fueron calculadas para una franja de 111 km adyacente a la costa entre el ecuador geográfico y 22°S según los promedios climatológicos diarios de 2000-2014 para (a) y de 2007-2016 para (b). La barra de colores a la derecha muestra la escala de las anomalías en cada caso.

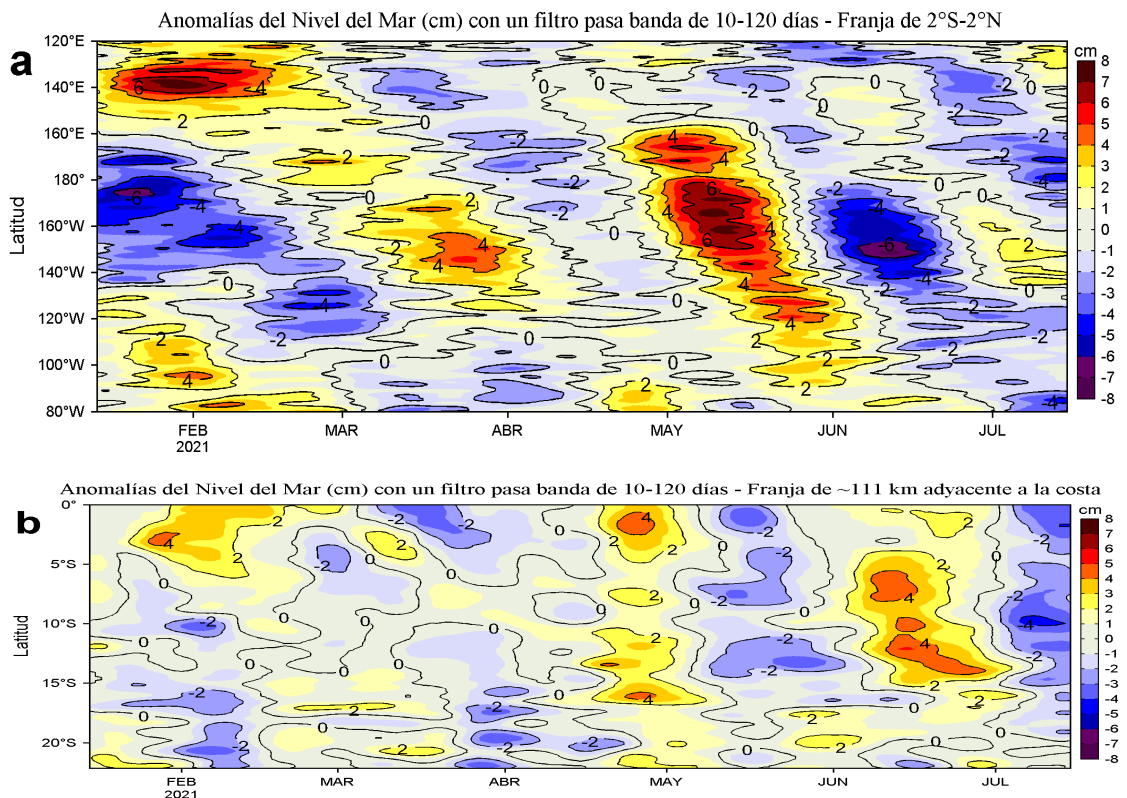


Figura 5. Evolución de las anomalías diarias del nivel del mar (cm) para a) la franja de 2°S-2°N en el Pacífico Ecuatorial y b) la franja de 111 km adyacente a la costa entre el ecuador geográfico y 22°S en el último semestre, actualizado al 15 de julio de 2021. Los datos de anomalías de nivel del mar consideran un filtro pasa banda de 10-120 días. Datos: del Servicio de Monitoreo del Ambiente Marino Copernicus (CMEMS en inglés). Climatología: 1993-2010. La barra de colores a la derecha muestra la escala de las anomalías en cada caso.

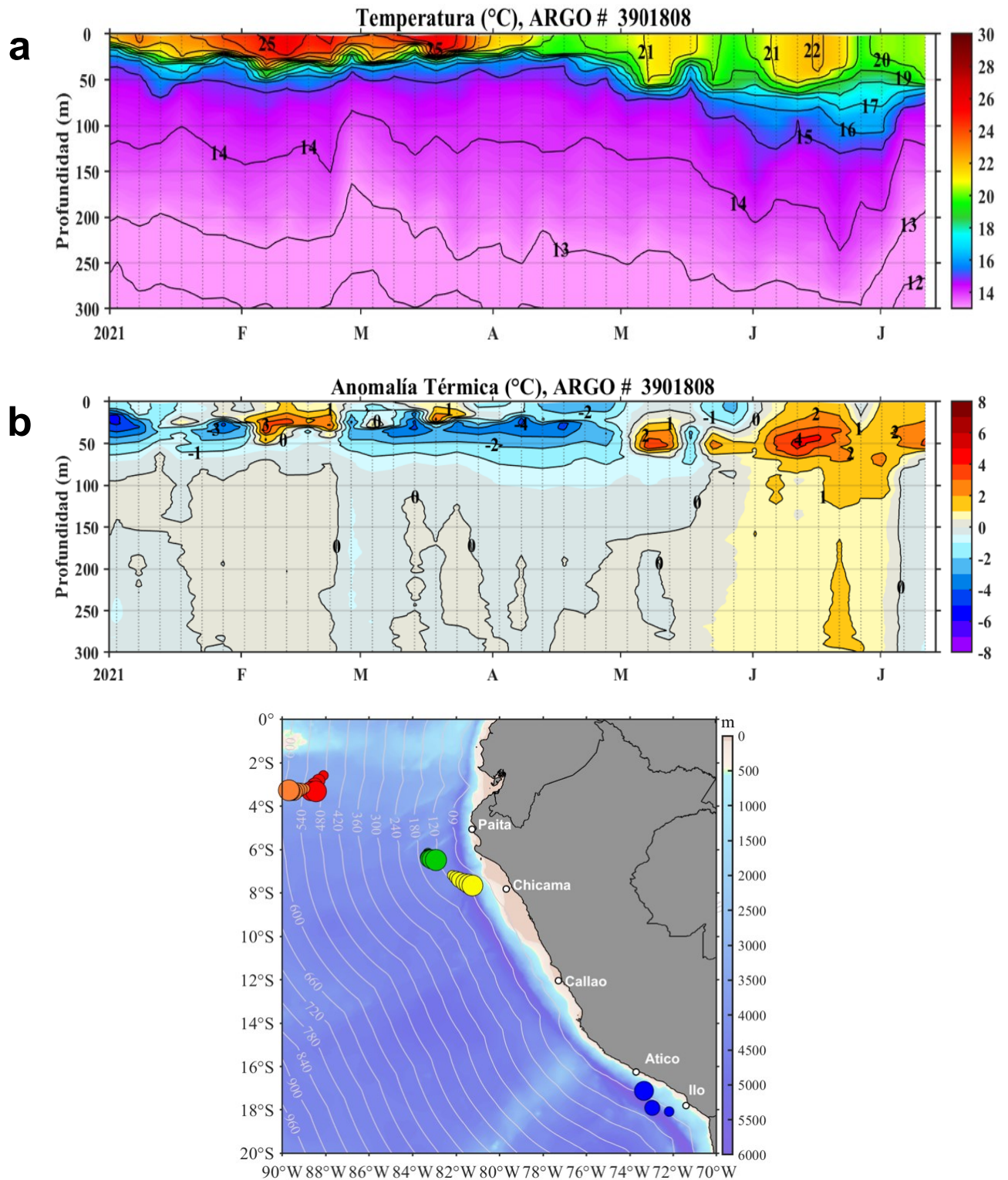


Figura 6. Diagrama Hovmöller de: a) Temperatura del mar (°C) y b) Anomalías térmicas (°C) del perfilador ARGO No. 3901808 localizado a 103 millas (7,7°S y 81,3°W) frente a Chicama del 01 de enero al 11 de julio de 2021. Las anomalías de la temperatura del agua (°C) se calcularon de acuerdo a Domínguez et al (2017). Los puntos en la columna de agua indican los días en que el perfilador ARGO registró información. En la Figura (c) se muestra la ubicación de los perfiladores ARGO disponibles en el área de estudio. La ubicación del perfilador ARGO No. 3901808 se presenta con el círculo de color amarillo. Datos: ARGO.

IV. ÍNDICES CLIMÁTICOS Y BIOLÓGICO-PESQUERO

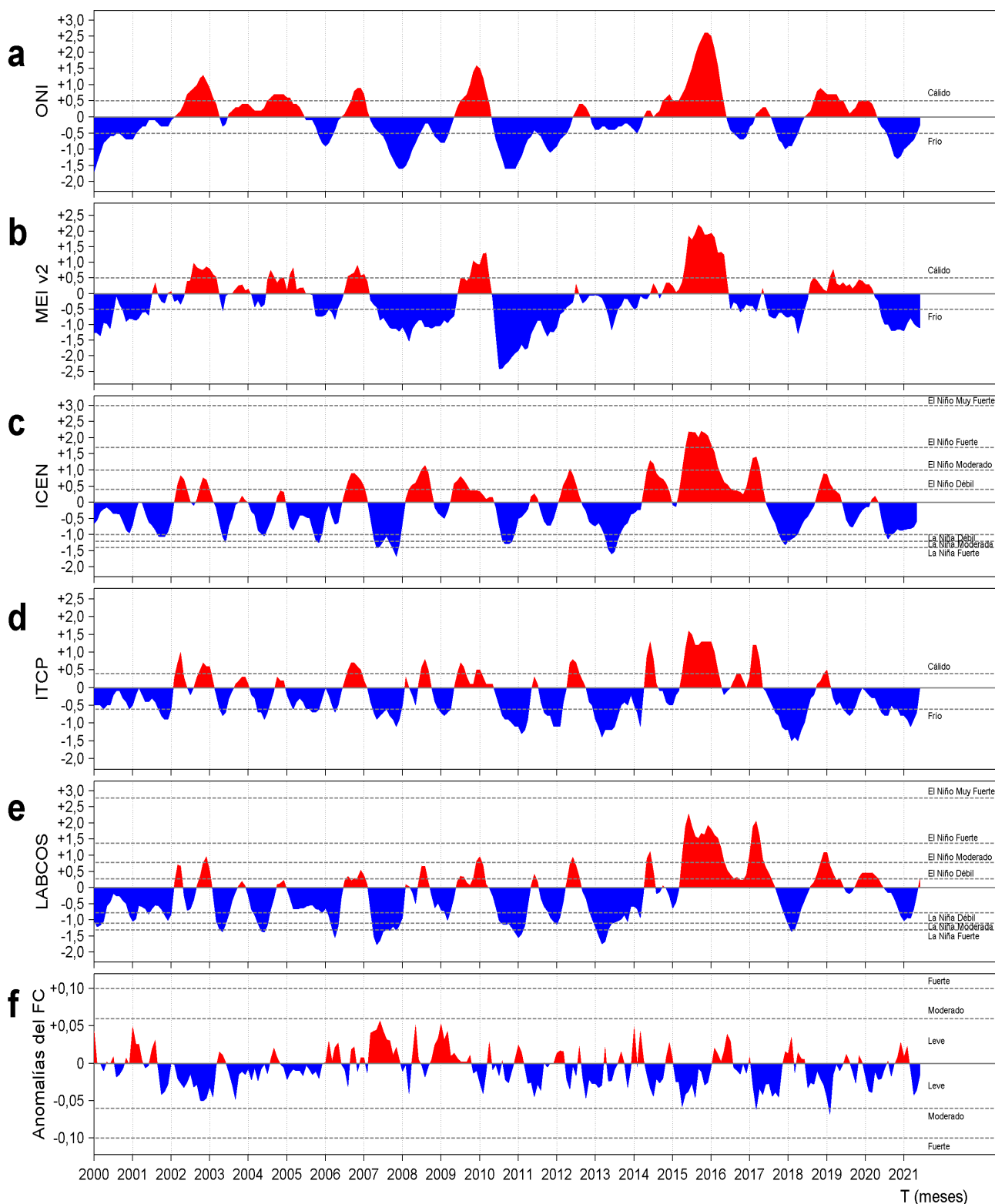


Figura 7. Series de tiempo de los índices climáticos y biológico-pesquero: a) Índice Niño Oceánico (ONI; Huang et al., 2017), b) Índice Multivariado de ENOS (MEI v2; Wolter y Timlin (1993, 1998 y 2011) y Kobayashi et al., 2015), c) Índice Costero El Niño (ICEN; Takahashi et al., 2014), d) Índice Térmico Costero Peruano (ITCP; Quispe et al., 2016), e) Índice LABCOS (Quispe y Vásquez, 2015) y f) Factor de condición de la anchoveta peruana (Fc; Perea et al., 2015), respectivamente desde el año 2000.

V. PERSPECTIVAS

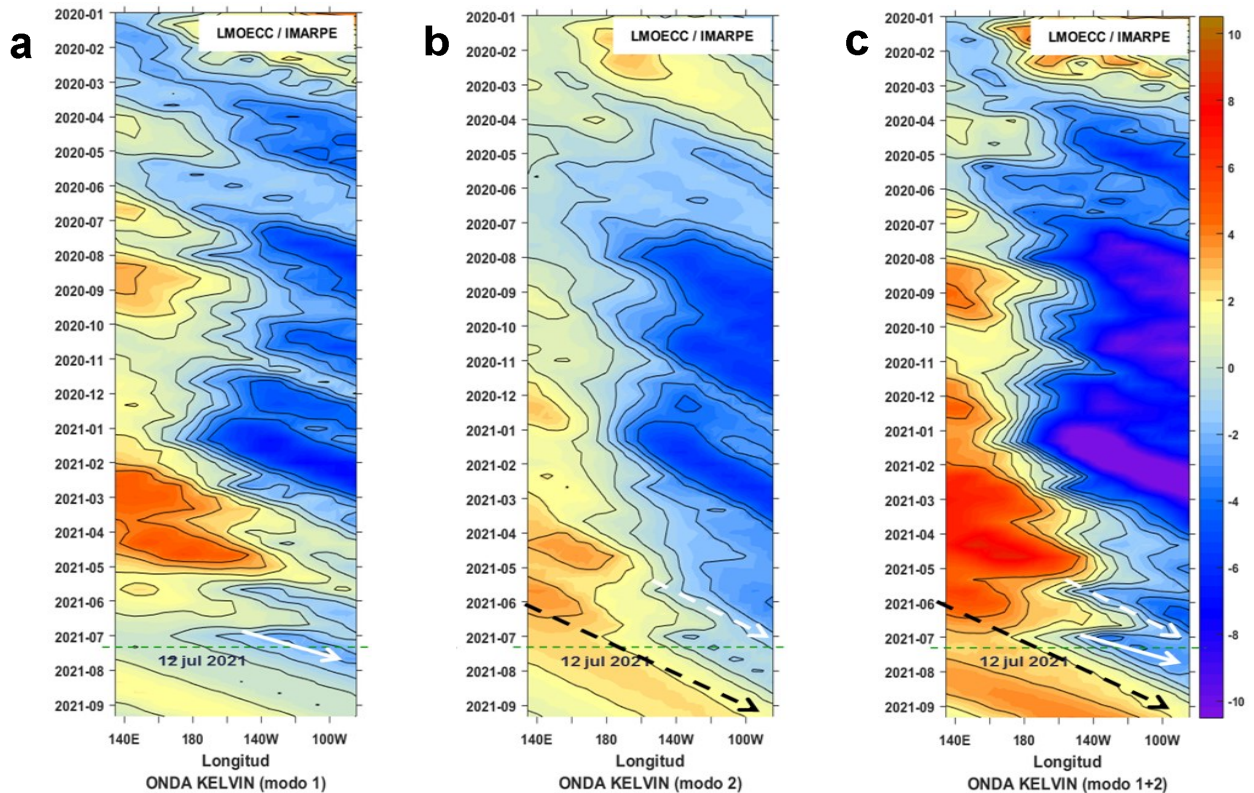


Figura 8. Diagramas Hovmöller longitudud-tiempo de las Ondas Kelvin Ecuatoriales en el Océano Pacífico Ecuatorial entre 130°E y 95°W forzado con anomalías del esfuerzo del viento (N/m²) del NCEP (Kalnay et al. 1996) de acuerdo con la metodología de Illig et al. (2004) y Dewitte et al. (2002): a) Modo 1, b) Modo 2 y c) Modos 1+2. La línea discontinua horizontal de color verde indica el inicio del pronóstico con anomalías del esfuerzo del viento igual a cero. Los valores negativos corresponden a ondas Kelvin de afloramiento “frías” (flechas blancas).

RECONOCIMIENTOS

The Group for High Resolution Sea Surface Temperature (GHRSSST) Multi-scale Ultra-high Resolution (MUR) Level 4 OSTIA Global Foundation Sea Surface Temperature Analysis (GDS version 2). Ver. 2.0 data were obtained from the NASA EOSDIS Physical Oceanography Distributed Active Archive Center (PO.DAAC) at the Jet Propulsion Laboratory, Pasadena, CA (<http://dx.doi.org/10.5067/GHGMR-4FJ01>).

IFREMER/CERSAT. 2005. ERS-1 Level 3 Gridded Mean Wind Fields (IFREMER). Ver.1.PO.DAAC, CA, USA (<ftp://anonymous@ftp.ifremer.fr/ifremer/cersat/products/gridded/mwf-ers1>).

The Ssalto/Duacs altimeter products were produced and distributed by the Copernicus Marine and Environment Monitoring Service (CMEMS) (<http://www.marine.copernicus.eu>).

The products from the MERCATOR OCEAN system distributed through the Marine Copernicus Service. (<http://www.marine.copernicus.eu>).

Argo data (<http://doi.org/10.17882/42182>) were collected and made freely available by the International Argo Program and the national programs that contribute to it. (<http://www.argo.ucsd.edu>, <http://argo.jcommops.org>). The Argo Program is part of the Global Ocean Observing System.

The Pacific Islands Ocean Observing System (PacIOOS) is funded through the National Oceanic and Atmospheric Administration (NOAA) as a Regional Association within the U.S. Integrated Ocean Observing System (IOOS). PacIOOS is coordinated by the University of Hawaii School of Ocean and Earth Science and Technology (SOEST).

Este boletín es una acción del Programa Presupuesto Por Resultados - PPR 068 El Niño “Reducción de Vulnerabilidad y Atención de Emergencias por Desastres” y su producto “Entidades Informadas en forma permanente y con pronósticos frente al Fenómeno El Niño”.

REFERENCIAS

- Dewitte B., D. Gushchina, Y. du Penhoat and S. Lakeey, 2002: On the importance of subsurface variability for ENSO simulation and prediction with intermediate coupled models of the Tropical Pacific: A case study for the 1997-1998 El Niño. *Geoph. Res. Lett.*, vol. 29, no. 14, 1666, 10.1029/2001GL014452.
- Domínguez, N., C. Grados, L. Vásquez, D. Gutiérrez, A. Chaigneau. *Climatología termohalina frente a las costas del Perú. Periodo: 1981-2010. Volumen 44, Número 1, Enero-Marzo 2017. Inf Inst Mar Perú 44(1).*
- Donlon, C. J, M. Martin, J. Stark, J. Roberts-Jones, E. Fiedler, W. Wimmer, 2012. The Operational Sea Surface Temperature and Sea Ice Analysis (OSTIA) system. *Remote Sen. Env.*, 116, 140-158.
- Huang, B., Peter W. Thorne, et. al, 2017: Extended Reconstructed Sea Surface Temperature version 5 (ERSSTv5), Upgrades, validations, and intercomparisons. *J. Climate*, doi: 10.1175/JCLI-D-16-0836.1
- Illig, S., B. Dewitte, N. Ayoub, Y. du Penhoat, G. Reverdin, P. De Mey, F. Bonjean and G. S. E. Lagerloef, 2004: Interannual Long Equatorial Waves in the Tropical Atlantic from a High Resolution OGCM Experiment in 1981-2000, *Journal of Geophysical Research*, 109, C02022, doi:10.1029/2003jc001771.
- Kalnay, E., M. Kanamitsu, R. Kistler, W. Collins, D. Deaven, L. Gandin, M. Iredell, S. Saha, G. White, J. Woollen, Y. Zhu, A. Leetmaa, B. Reynolds, M. Chelliah, W. Ebisuzaki, W. Higgins, J. Janowiak, K. Mo, C. Ropelewski, J. Wang, R. Jenne, and D. Joseph, 1996: The NCEP/NCAR 40-Year Reanalysis Project. *Bull. Amer. Meteor. Soc.*, 77, 437-471.
- Kobayashi S, Ota Y, Harada Y, Ebata A, Moriya M, Onoda H, Onogi K, Kamahori H, Kobayashi C, Endo H, Miyaoka K, Takahashi K (2015) The JRA-55 reanalysis: general specifications and basic characteristics. *J Meteor Soc Jpn* 93:5-48.
- Lellouche, J.-M., Le Galloudec, O., Drévilion, M., Régnier, C., Greiner, E., Garric, G., Ferry, N., Desportes, C., Testut, C.-E., Bricaud, C., Bourdallé-Badie, R., Tranchant, B., Benkiran, M., Drillet, Y., Daudin, A., and De Nicola, C.: Evaluation of global monitoring and forecasting systems at Mercator Océan, *Ocean Sci.*, 9, 57-81, 2013.
- Perea, A., B. Buitrón, J. Mori, J. Sánchez, C. Roque, 2015. Anomalías de los Índices reproductivos de anchoveta *Engraulis ringens* en relación al ambiente. En: *Boletín Trimestral Oceanográfico*, Volumen 1, Números 1-4, pp.: 27-28.
- Quispe Ccallauri, C, J. Tam, H. Demarcq, C. Romero, D. Espinoza, A. Chamorro, J. Ramos, R. Oliveros, 2016. El Índice Térmico Costero Peruano. En: *Boletín Trimestral Oceanográfico*, Volumen 2, Número 1, pp: 7-11.
- Quispe, J. y L. Vásquez, 2015. Índice "LABCOS" para la caracterización de evento El Niño y La Niña frente a la costa del Perú, 1976-2015. En: *Boletín Trimestral Oceanográfico*, Volumen 1, Números 1-4, pp.: 14-18.
- Takahashi, K, K. Mosquera y J. Reupo, 2014. El Índice Costero El Niño (ICEN): historia y actualización. *Boletín Técnico - Vol. 1 Nro. 2, Febrero del 2014.*
- Wolter K. and M. S. Timlin, 1993. Monitoring ENSO in COADS with a seasonally adjusted principal component index. *Proceedings of the 17th Climate Diagnostics Workshop*, Norman, Oklahoma. NOAA/NMC/CAC-NSSL-Oklahoma Climate Survey-CIMMS-School of Meteorology of the University of Oklahoma, pp. 52-57.
- Wolter K. and M. S. Timlin, 1998. Measuring the strength of ENSO events - how does 1997/98 rank? *Weather* **53**, 315-324.
- Wolter K. and M. S. Timlin, 2011. El Niño/Southern Oscillation behavior since 1871 as diagnosed in an extended multivariate ENSO index (MEI. ext). *Int. J. Climatol.* **31**, 1074-1087.

El Boletín Semanal Oceanográfico y Biológico-Pesquero (BS OBP) presenta la evolución de variables físicas en la superficie del océano y atmósfera, así como de la estructura físico-química del océano frente a Paíta -lugar referente del mar peruano para la vigilancia climática asociada a El Niño-Oscilación del Sur- con el fin de comprender los efectos de la variabilidad de corto plazo en las condiciones oceanográficas del mar peruano. Esta información se sustenta en las redes observacionales que administra el IMARPE y que se han fortalecido en el marco del Programa Presupuesto Por Resultados - PPR 068 El Niño "Reducción de Vulnerabilidad y Atención de Emergencias por Desastres" y su producto "Entidades Informadas en forma permanente y con pronósticos frente al Fenómeno El Niño". Índices climáticos e información satelital complementan las observaciones in situ.

El BS OBP es elaborado por investigadores de las Áreas Funcionales de Oceanografía Física y Cambio Climático (AFIOFCC) y de Oceanografía Química y Geológica (AFIOQG) de la Dirección General de Investigaciones en Oceanografía y Cambio Climático (DGIOCC) así como la Dirección General de Investigaciones de Recursos Pelágicos (DGIRP) del Instituto del Mar del Perú (IMARPE). Se espera informar de forma oportuna y permanente sobre el estado del océano a diferentes grupos de interés y sociedad en general, contribuyendo a mejorar el conocimiento del mar peruano y coadyuvar a la gestión del riesgo de desastres del Estado Peruano.

Se informa que el monitoreo oceanográfico rutinario frente a Paíta se ha suspendido debido a las disposiciones por la presencia del COVID-19; en su reemplazo, se presenta información de perfiladores ARGO disponibles frente a la costa norte del Perú.

Servicio de Información Oceanográfica del Fenómeno El Niño (SIO-FEN)
Laboratorio de Hidrofísica Marina/AFIOFCC/DGIOCC/IMARPE



El contenido del Boletín se puede reproducir citándolo así: Boletín Semanal Oceanográfico y Biológico-Pesquero [en línea]. Callao, Instituto del Mar del Perú. Año 6, N°28, 16 de julio de 2021. http://www.imarpe.pe/imarpe/index.php?id_seccion=101780204000000000000000.

© 2021 Instituto del Mar del Perú.
Esquina Gamarra y General Valle, Chucuito, Callao - Perú.

Consultas: Servicios y Productos Oceanográficos
Laboratorio de Hidrofísica Marina/AFIOFCC/DGIOCC/IMARPE.
Correo electrónico: lhfm_productos@imarpe.gob.pe;
lhfm_productos@gmail.com.
Teléfono: (51 1) 208 8650 (Extensión 824).

Suscripciones: Complete [este formulario](#).